

4

# И Н С Т И Т У Т ЯДЕРНОЙ ФИЗИКИ СОАН СССР

И Я Ф 57 - 70

Р.И.Солоухин, Ю.А.Якоби

РАСПРЕДЕЛЕНИЕ КОНЦЕНТРАЦИИ ЭЛЕКТРОНОВ  
И ВОЛНОВЫЕ ПРОЦЕССЫ В ИМПУЛЬСНОМ РАЗРЯДЕ  
ПО ДАННЫМ ЛАЗЕР-ШЛИРЕН ИЗМЕРЕНИЙ

Новосибирск

1970

Процессы, происходящие в прямом импульсном разряде, в настоящее время вновь привлекают к себе внимание в связи с выбором рабочего режима мощных газовых лазеров /1-4/. Представляется вероятным, что в импульсных режимах в возбуждении инверсии принимает участие не только первичный процесс - электрический разряд, но и ряд вторичных явлений - ударные волны, рекомбинация, химические реакции и т.п. Существование гидродинамических возмущений в прямых разрядах было зарегистрировано в ряде работ /5,6/. Ударные волны и волны сжатия могут вызывать дополнительную инверсию заселенности путем ионизации и после дующего электронного возбуждения атомов и молекул. При этом наибольший интерес представляют плотности порядка  $10^{16}$ - $10^{17} \text{ см}^{-3}$ , поскольку при меньших плотностях трудно получить заметный коэффициент усиления в газоразрядном лазере, а при больших - инверсия быстро разрушается ударами второго рода.

В данной работе было проведено изучение распределения концентрации электронов по сечению разрядной трубки в прямом разряде в аргоне - как в течение протекания разрядного тока, так и на последующих стадиях процесса. Для измерения во времени градиентов электронной плотности и для построения общей картины распределения электронной концентрации по изменению показателя преломления плазмы использовался шлирен-метод /7/ с CO<sub>2</sub>-лазером (10,6 мк) в качестве источника света. Проведенные измерения выявили сложную картину формирования серии последовательных радиальных волн сжатия, существующих в течение достаточно длительного периода после окончания разряда.

Показатель преломления плазмы  $N$  определяется суммарным вкладом её нейтральной  $n_0$  и заряженной  $n_e$  компонент:

$$N-1 = -A n_e \lambda^2 + (B + C/\lambda^2) n_0 \quad (1)$$

где  $\lambda$  - длина волны,  $A = 4,46 \cdot 10^{-14}$ , В и С - константы, характерные для данного атома или иона. Из формулы (1) видно, что

$$\frac{dN}{dn_e} = -A \lambda^2, \text{ а } \frac{dN}{dn_0} = B + C/\lambda^2 \quad (2)$$

Следовательно, переход к измерениям в длинноволновой части спектра имеет принципиальное значение, т.к. при этом резко повышается чувствительность к электронной компоненте. Кроме того,

измерения в инфракрасной области позволяют определять относительно невысокие концентрации электронов на фоне преобладающей нейтральной компоненты в слабоионизованной плазме. Появление в плазме градиента плотности электронов в направлении, перпендикулярном к направлению зондирующего светового пучка, приводит к отклонению пучка на угол.

$$\beta = -A \lambda^2 L \cdot \nabla n_e \quad (3)$$

где  $L$  — длина области возмущения вдоль направления светового пучка.

Схема экспериментальной установки изображена на рис.1. В работе использовался CO<sub>2</sub> — лазер с прокачкой газа (мощность 20 вт). В объём резонатора вводилась ирисовая диафрагма для подавления мод высших порядков. Это позволяло уменьшить размеры фокального пятна на выходе системы, а также исключить биения, которые в противном случае спорадически возникают в излучении лазера. Излучение выходило через отверстие в одном из зеркал диаметром 2 мм.

Зондировалась плазма, создаваемая в газоразрядной трубке с окнами из фтористого бария. Газоразрядный промежуток равнялся 25 см, внутренний диаметр трубы — 17 мм. В трубке создавался стационарный продольный тлеющий разряд, на который периодически накладываются импульсные разряды между теми же электродами. Наличие постоянного токового канала обеспечивает симметрию импульсных разрядов относительно оси трубы и обуславливает хорошую воспроизводимость условий их протекания. Ток тлеющего разряда обеспечивается выпрямителем и ограничивается со-противлением  $R_2$ . Напряжение, падающее на этом сопротивлении, заряжает также конденсатор  $C$ . При подаче поджигающего импульса на сетку тиратрона  $T$  конденсатор разряжается через него на разрядную трубку.

Луч CO<sub>2</sub> лазера, прошедший через трубку, попадает на солидную пластинку, которая направляет 1% падающего потока на линзу  $L$  из фтористого бария с фокусным расстоянием 30 см, фокусирующую излучение на лезвие "ножа"  $N$ . Размеры фокально-го пятна 0,3 мм, "нож" перекрывает половину фокального пятна. Излучение регистрируется фотосопротивлением  $e/e(Au)$ , охлаждаемым жидким азотом. Регистрация динамики разряда по его са-

освещению осуществлялась с помощью ждущего фоторегистратора в режиме щелевой развертки одновременно с наблюдением шлирен-эффекта.

Количественная интерпретация шлирен-эффекта осуществлялась следующим образом. Распределение освещенности  $\mathcal{J}$  фокального пятна по оси  $X$ , перпендикулярной оптической оси системы и кромке ножа, определялась путем сканирования пятна кромкой ножа с помощью микрометрического винта. По полученному распределению  $\mathcal{J}(x)$  строился график интегральной функции  $\Phi(x) = \int_0^x \mathcal{J}(x) dx$ . В результате шлирен-эффекта регистрировалась величина  $Z = \Phi(x) - \Phi(x_0)$ , где  $x_0$  - положение кромки ножа, соответствующее середине фокального пятна. Это позволяло графически определить величину линейного смещения  $x - x_0 = \beta f$ , где  $f$  - фокусное расстояние линзы, а через нее и значение градиента электронной плотности  $dne/dr$ , где  $r$  - расстояние от оси трубы до зондируемого участка. Ввиду того, что даже в установившемся режиме мощность излучения CO<sub>2</sub>-лазера колеблется в пределах 10-20%, осуществлялось мониторирование общей интенсивности. Для этого лазер питался выпрямленным нефильтрованным напряжением с частотой 100 Гц. В моменты перехода напряжения через нуль генерация прекращается, поэтому временная картина генерации состоит из четко разделенных импульсов длительностью  $\sim 7$  мсек с частотой 100 Гц. Наблюдение шлирен-эффекта ведется на вершине одного из этих импульсов. Поскольку длительность развертки при этом составляет 50-100 мксек, изменением общей интенсивности излучения за этот промежуток времени можно пренебречь. Линия развертки смещается относительно нормального положения на величину, равную высоте импульса генерации  $Z_0$ . В описанной выше методике расчета величина  $Z$  заменялась безразмерным отношением  $Z/Z_0$ , что обеспечивало независимость полученных результатов от колебаний интенсивности лазера. Параллельно осуществлялось осциллографирование тока через газоразрядную трубку.

Характерной особенностью полученных осцилограмм является наличие второго максимума шлирен-сигнала уже после окончания тока. Величина этого сигнала растет с увеличением импульсного тока через трубку (рис.2). Скоростные щелевые развертки самосвечения разряда регистрируют серию интенсивных радиальных возмущений, существующих в трубке после окончания разряда. Анализ

осцилограмм и разверток свечения газа показывает, что второй максимум ионизации связан со сходящейся к центру ударной волной. Была вычислена скорость ударной волны как отношение удвоенного расстояния точки вблизи оси до стенки к промежутку времени от первого до второго максимума. В таблице 1 представлены значения скоростей при различных давлениях и напряжениях на трубке. Как и следовало ожидать, с повышением давления средняя скорость ударной волны понижается. Осцилограммы шлирен-сигнала при повышении давления показывают наличие целой серии последовательных радиальных возмущений. Скоростная развертка при этих давлениях также показывает формирование серии последовательных радиальных волн сжатия, существующих в течение времени в 5-20 большего, чем длительность разряда (рис.3).

Производилось осциллографирование временных зависимостей шлирен-эффекта при радиальном смещении зондирующего луча лазера параллельно оси трубы. При переходе луча через ось трубы наблюдаемое отклонение  $Z$  меняло знак, что свидетельствует о симметрии разряда относительно оси (рис.4).

По результатам замеров на разных радиусах было построено радиальное распределение электронной плотности на различных стадиях процесса - путем вычисления интегральной функции

$$\int_0^r dne/dz \cdot dz$$

На рис.5-10 представлены полученные таким образом профили в моменты первого и второго максимумов ионизации, а также в момент, когда сходящаяся волна еще не приблизилась к центру трубы. При малых давлениях волна лишь "выполаживает" профиль ионизации, а при увеличении начального давления в разрядной трубке фронт ударной волны можно непосредственно наблюдать по форме профиля электронной плотности. На рис.11,12 представлено значение электронной плотности на оси трубы в моменты первого и второго максимумов.

Параллельно с измерением шлирен-эффекта производилась интерферометрия той же плазмы в режиме фотометрического счёта полос на интерферометре Майкельсона с CO<sub>2</sub>-лазером в качестве источника света. Полученные результаты хорошо согласуются с приведенными выше. Следует однако отметить, что при работе в режиме фотоэлектрического счёта полос на осцилограммах наблюдались искажения, связанные со шлирен-эффектом, проявляющимся

одновременно с фазовым сдвигом. Заметим также, что относительная роль шлирен-эффекта возрастает при переходе в инфракрасную область спектра.

В самом деле, величина фазового сдвига  $\Delta\varphi$  световой волны, прошедшей в плазме расстояние  $L$

$$\Delta\varphi = \frac{2\pi}{\lambda} (N-1) \cdot L = -2\pi A n_e \cdot L \lambda \quad (4)$$

Шлирен-сигнал при равномерной освещенности пропорционален углу  $\beta$ . Сравнение формул (3) и (4) даёт

$$\frac{\beta}{\Delta\varphi} = \frac{\lambda}{2\pi} \cdot \frac{\nabla n_e}{n_e} \quad (5)$$

Полезно провести сравнительную оценку чувствительности определения электронной концентрации при интерферометрии и в шлирен-измерениях. Положим, что удаётся надежно регистрировать  $1/t$  долю полосы. Тогда из формулы (4) имеем для минимально обнаружимой электронной концентрации

$$n_e^{\min} = 1/A \cdot L \cdot \lambda \cdot t \quad (6)$$

В качестве критерия чувствительности шлирен-метода естественно принять возможность регистрации изменения также на  $1/t$  долю от общей интенсивности. Из формулы (3) для минимально обнаружимого градиента электронной концентрации имеем

$$\nabla n_e^{\min} = S / 2A \cdot L \cdot \lambda^2 \cdot t \cdot f \quad (7)$$

где  $S$  — размер фокального пятна. Отсюда

$$\frac{\nabla n_e^{\min}}{n_e^{\min}} = \frac{S}{2f \cdot \lambda} \quad (8)$$

В линейном приближении  $\nabla n_e = n_e / 2r_0$ , где  $r_0$  — эффективный радиус плазменного образования. Отсюда условие равенства чувствительностей обоих методов запишется в виде

$$2r_0 \cdot S = 2f \cdot \lambda \quad (9)$$

Интерферометрический метод более чувствителен при  $2_0 S > 2f\lambda$   
шлирен-метод при  $2_0 S < 2f\cdot\lambda$

Подстановка конкретных параметров описываемого эксперимента показывает, что чувствительность шлирен-метода в нашем случае приблизительно в 4 раза выше.

Таким образом, описанный выше количественный шлирен-метод с применением лазерного источника, работающего в инфракрасном диапазоне, обеспечивает детальное наблюдение состояния ионизованного газа в импульсном разряде. Проведенные наблюдения выявили сложную картину волновых процессов в плазме разряда. Радиальные волны сжатия вызывают резкие колебания концентрации электронов в разрядной трубке, поэтому описанные выше явления могут играть существенную роль, например, при электрическом возбуждении инверсной заселенности в газовых лазерах, работающих в импульсном режиме питания.

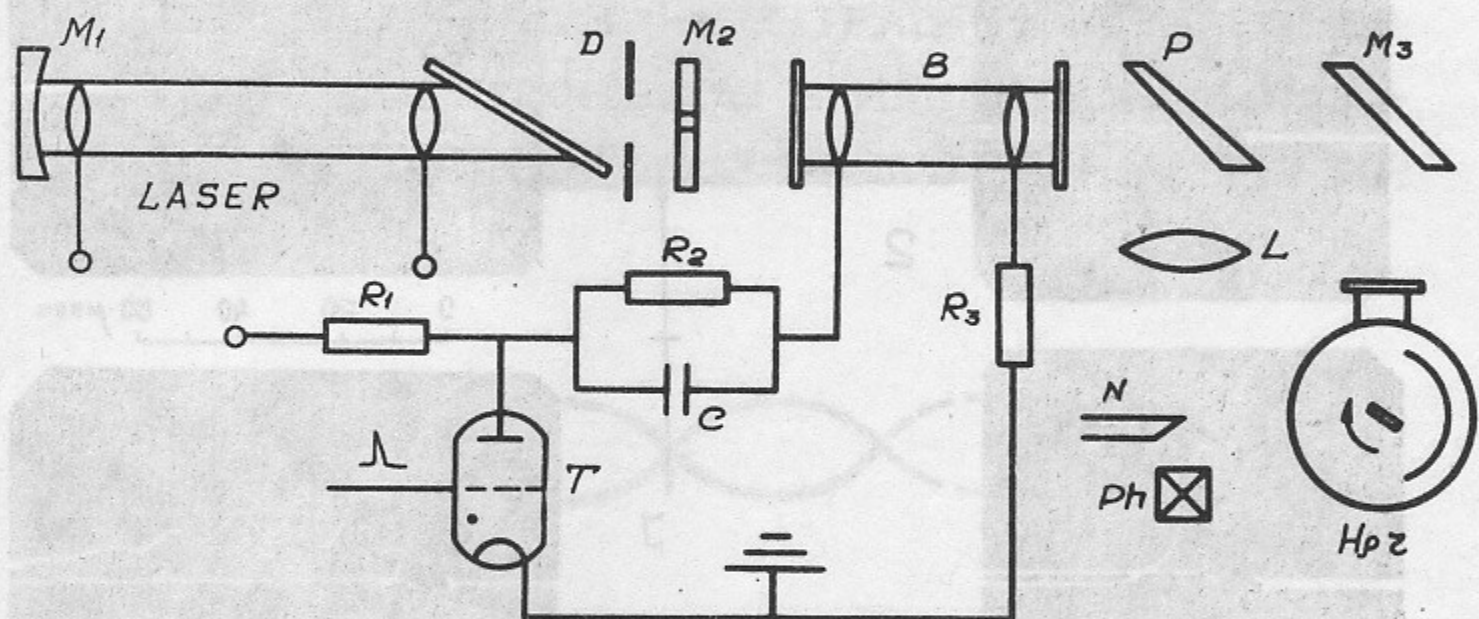
## Л и т е р а т у р а

1. Ф.К.Леонов, Е.Д.Проценко, Ю.М.Сапунов. Оптика и спектроскопия, 21, 243 (1966).
2. В.М.Лихачев, М.С.Рабинович, В.М.Сутовский. Письма ЖЭТФ, 5, 55 (1967).
3. A.E. Hill, Appl. Phys. Lett. 12, 324 (1968).
4. R.A. McFarlane, L.H. Freitz  
Appl. Phys. Lett., 14, 385 (1969)
5. Ю.Г.Коэлов, А.М.Шухман, ЖТФ, 38, 1465 (1968).
6. И.В.Деменик, Е.В.Миускин, Н.И.Середа, Д.П.Соловей. Термофизика высоких температур, 8, 443 (1970).
7. J.H. Kiefer, R.W. Lutz, Journ. Chem. Phys. 44, 658; 44, 668 (1966), также: Phys. Fluids, 9, 1638 (1966)

Т а б л и ц а 1

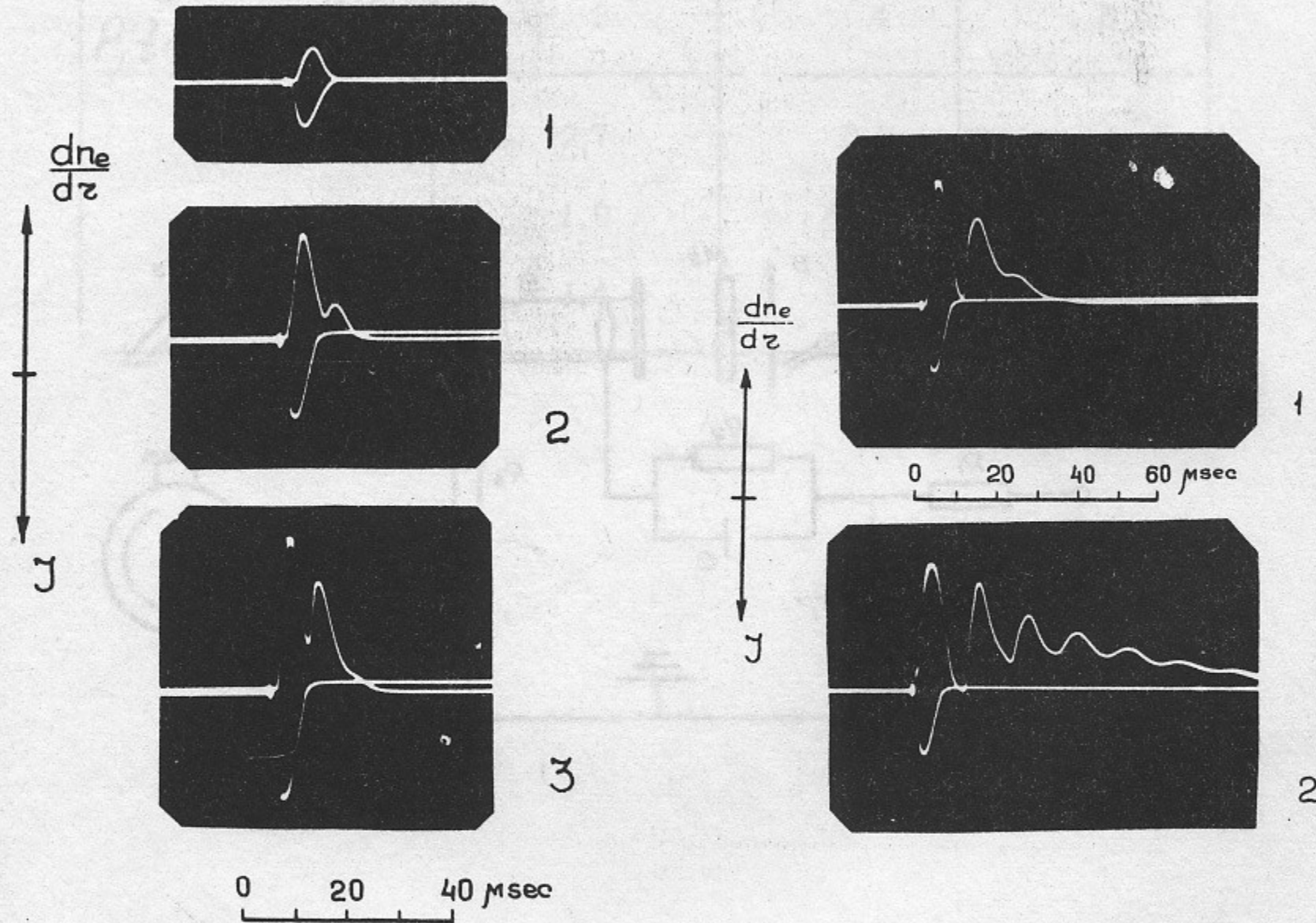
Скорости ударных волн в км/сек в зависимости от напряжения  
 $U$  и давления  $P$  аргона.

$P, \text{torr}$	$U, \text{kV}$	3	4	5
0,5		2,7	3,1	3,4
1		1,9		
2		1,4		



Фиг.1. Схема экспериментальной установки.  $M_1$ ,  $M_2$  - зеркала лазера,  $D$  - ирисовая диафрагма,  $B$  - разрядная трубка,  $P$  - пластина из  $NaCl$ ,  $L$  - линза из  $BaF_2$ ,  $N$  - "нож",  $Ph$  - фотосопротивление,  $M_3$  - поворотное зеркало,  $H$  - скоростной фотодиод,  $T$  - триатрон,  $C=0,5 \mu F$ .

$$R_1 = 10 \text{ к}\Omega, R_2 = 400 \text{ к}\Omega, R_3 = 3 \Omega.$$



Фиг.2. Осциллограммы шлирен-сигнала и разрядного тока:  
 а)  $P = 0.5 \text{ torr}$ , 1-2  $\text{kV}$ , 2-3  $\text{kV}$ , 3-4  $\text{kV}$ .  
 б)  $U = 3 \text{ kV}$ , 1-1  $\text{torr}$ , 2-2  $\text{torr}$ .

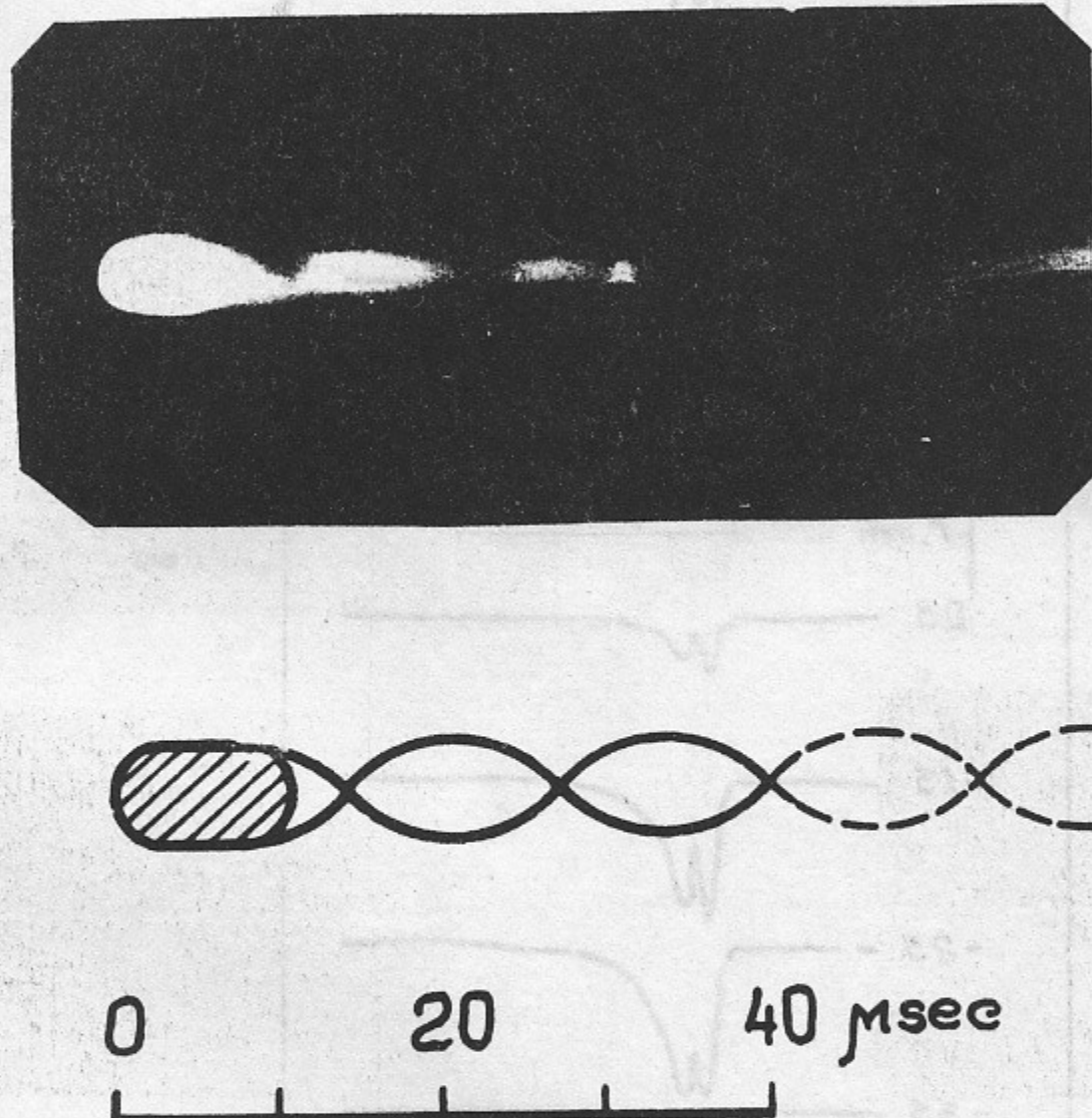


Рис.3. Скоростная щелевая развертка самосвечения разряда  
 $P = 2 \text{ torr}$  ,  $U = 3 \text{ kV}$  .

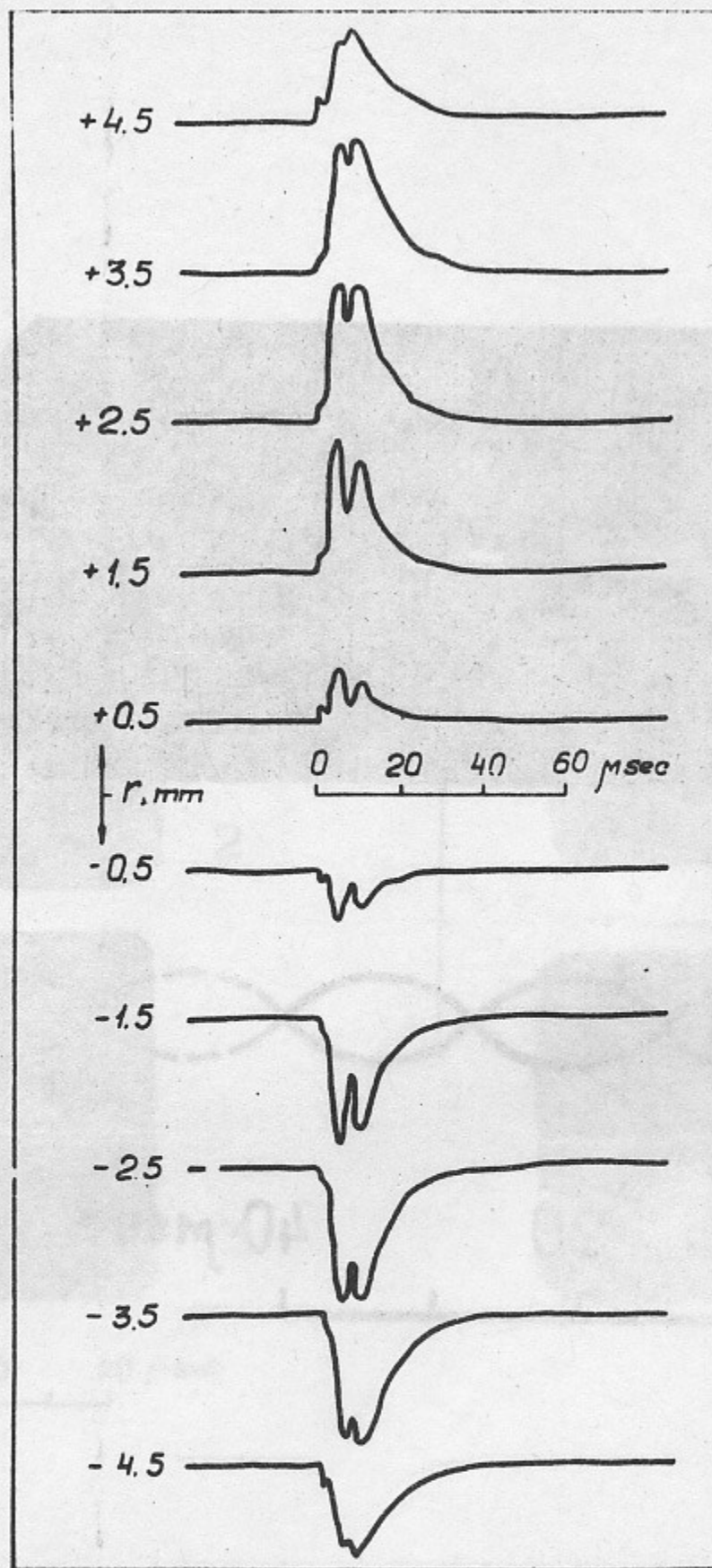
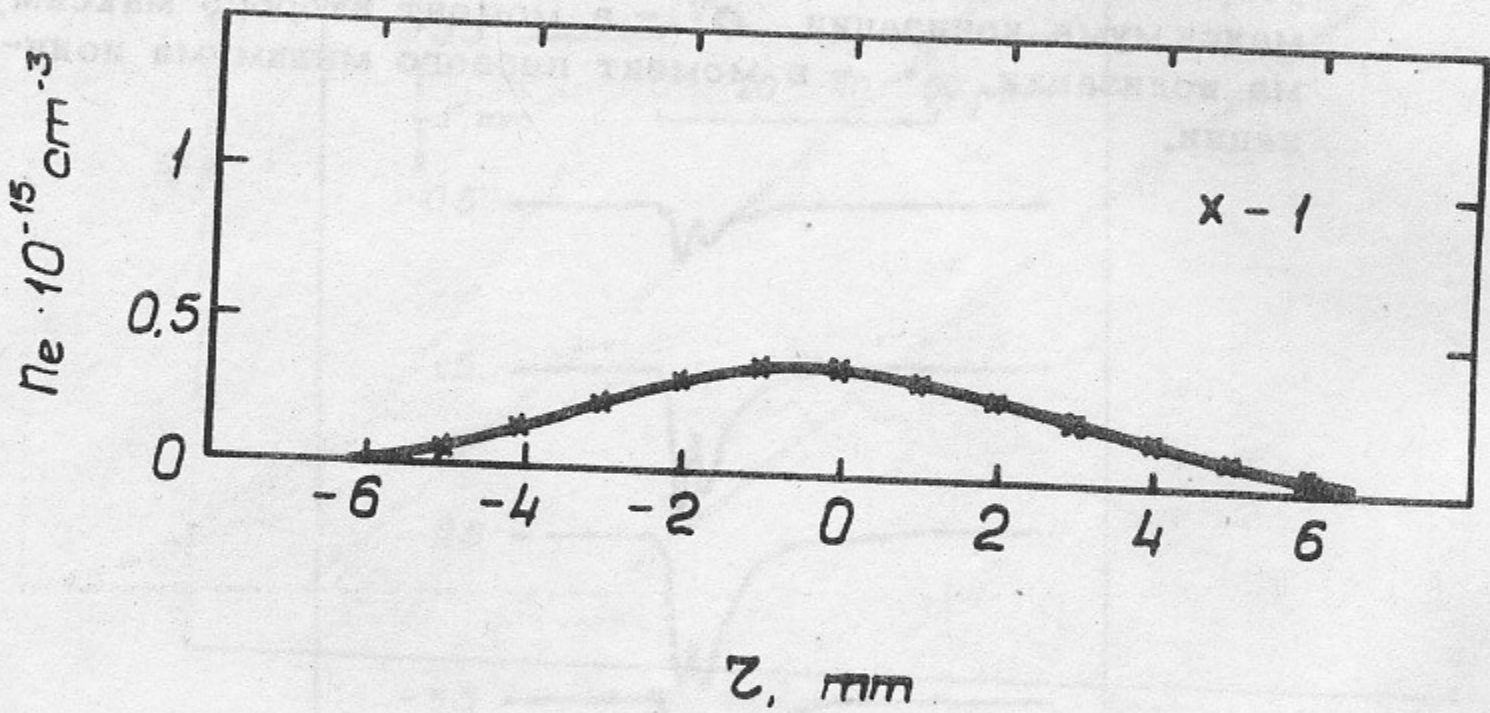
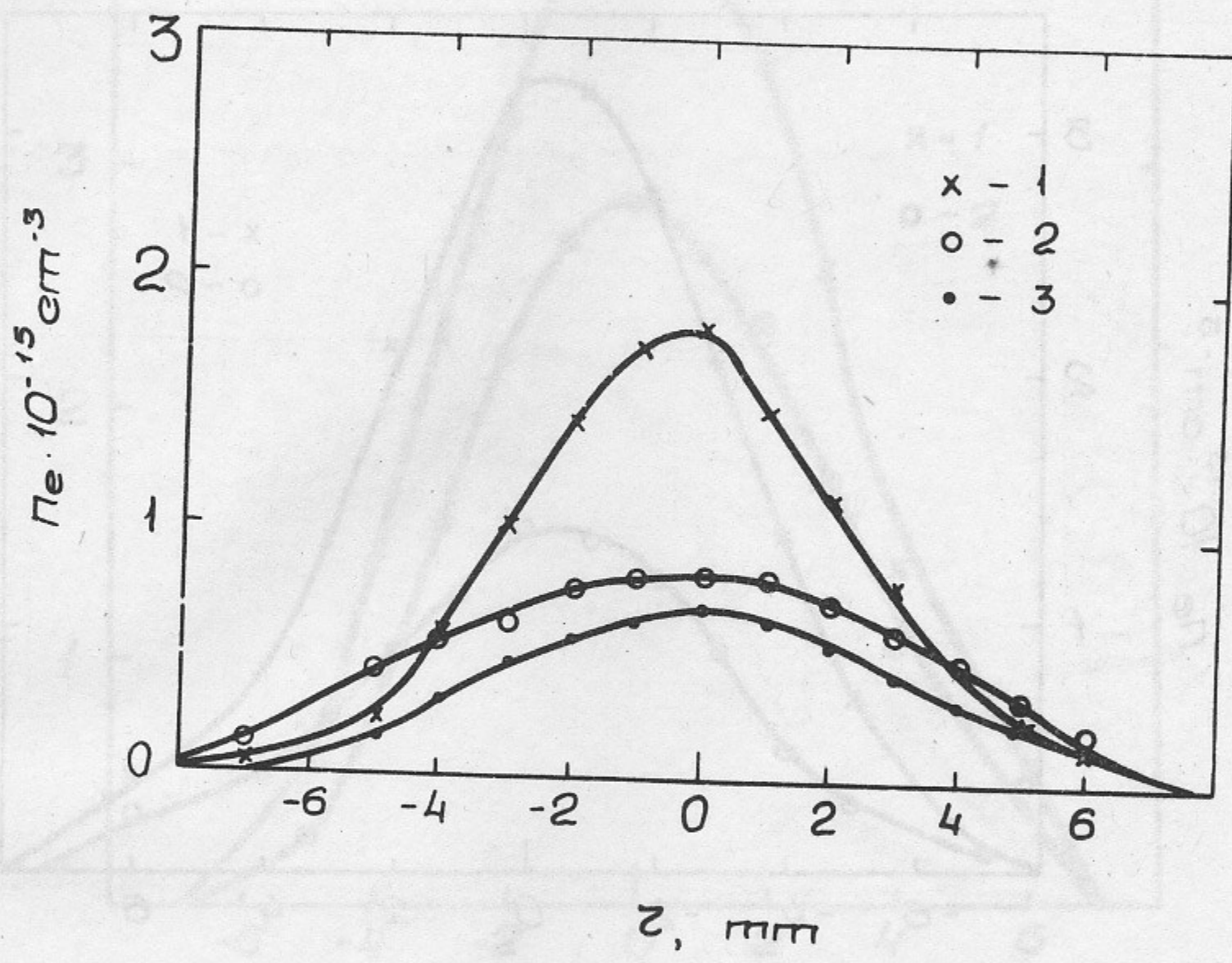


Рис.4. Радиальная зависимость шлирен-сигнала,  $z$  — расстояние от оси разрядной трубы.

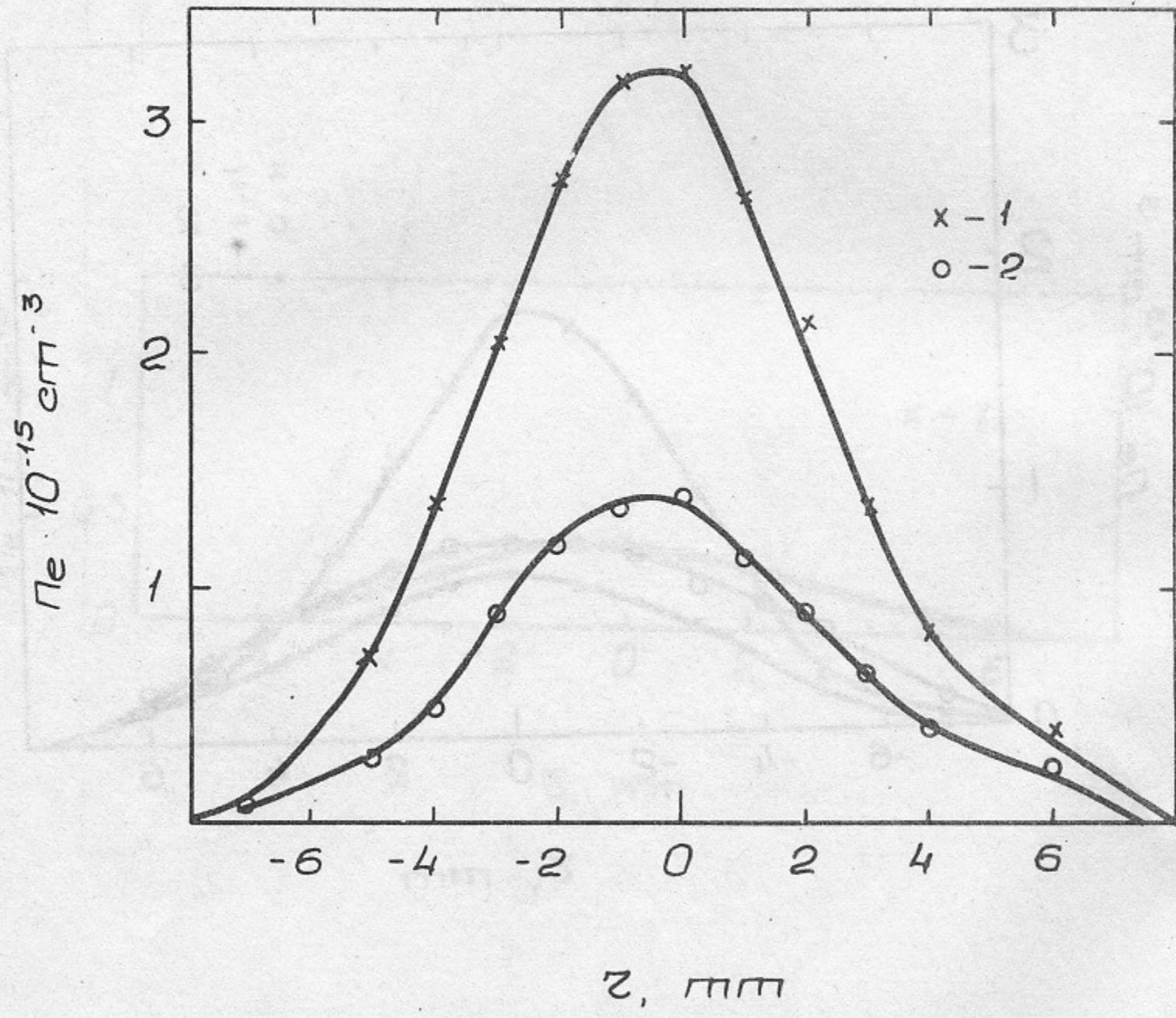
Фиг. 5-10. Радиальное распределение электронной концентрации по результатам шлирен-измерений:  $\times$  - в момент первого максимума ионизации,  $\circ$  - в момент второго максимума ионизации,  $*$  - в момент первого минимума ионизации.



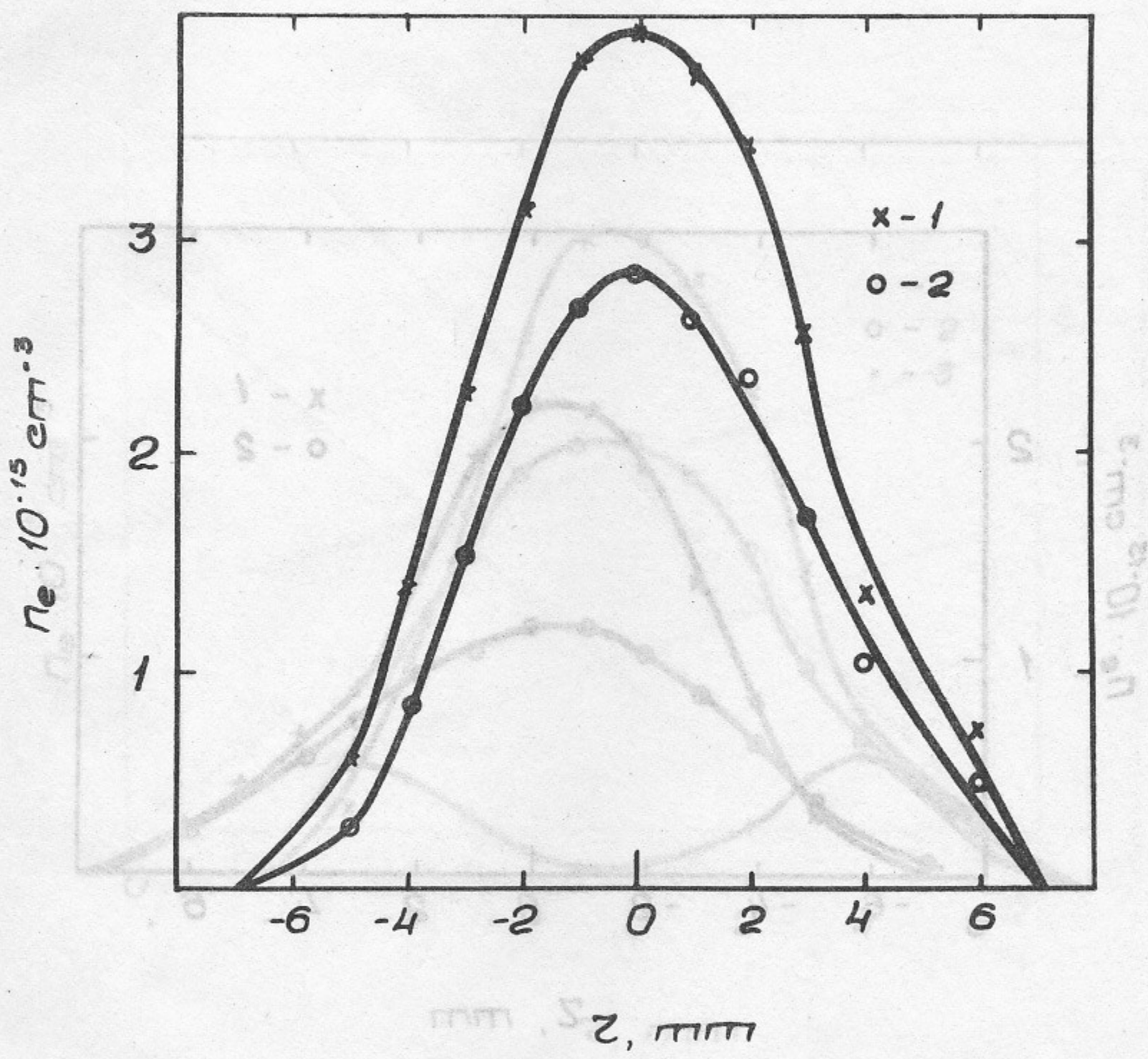
Фиг.5.  $P = 0.5 \text{ torr}$ ,  $U = 2 \text{ kV}$ .



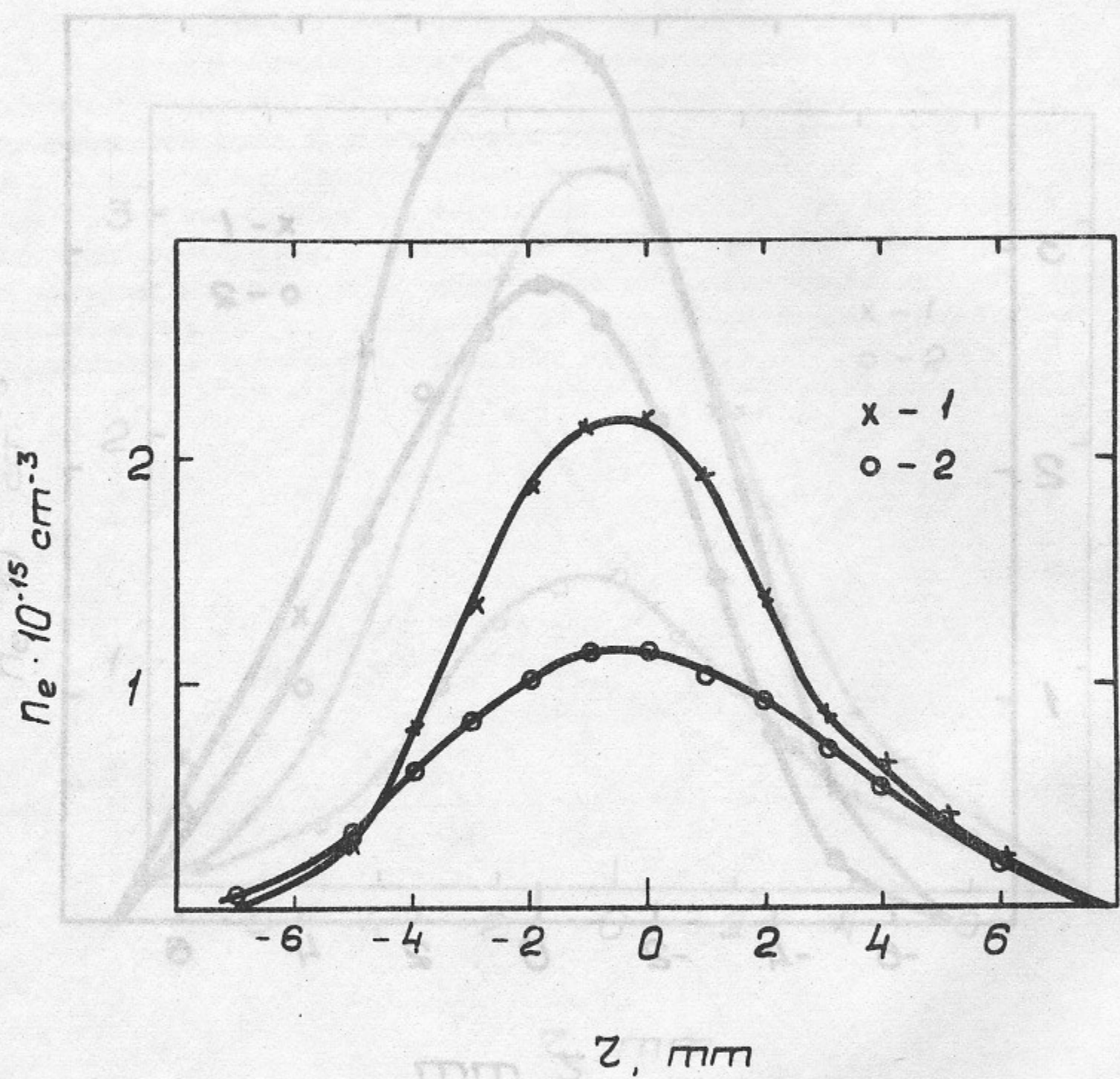
Фиг. 6.  $P = 0,5 \text{ torr}$ ,  $U = 3 \text{ kV}$ .



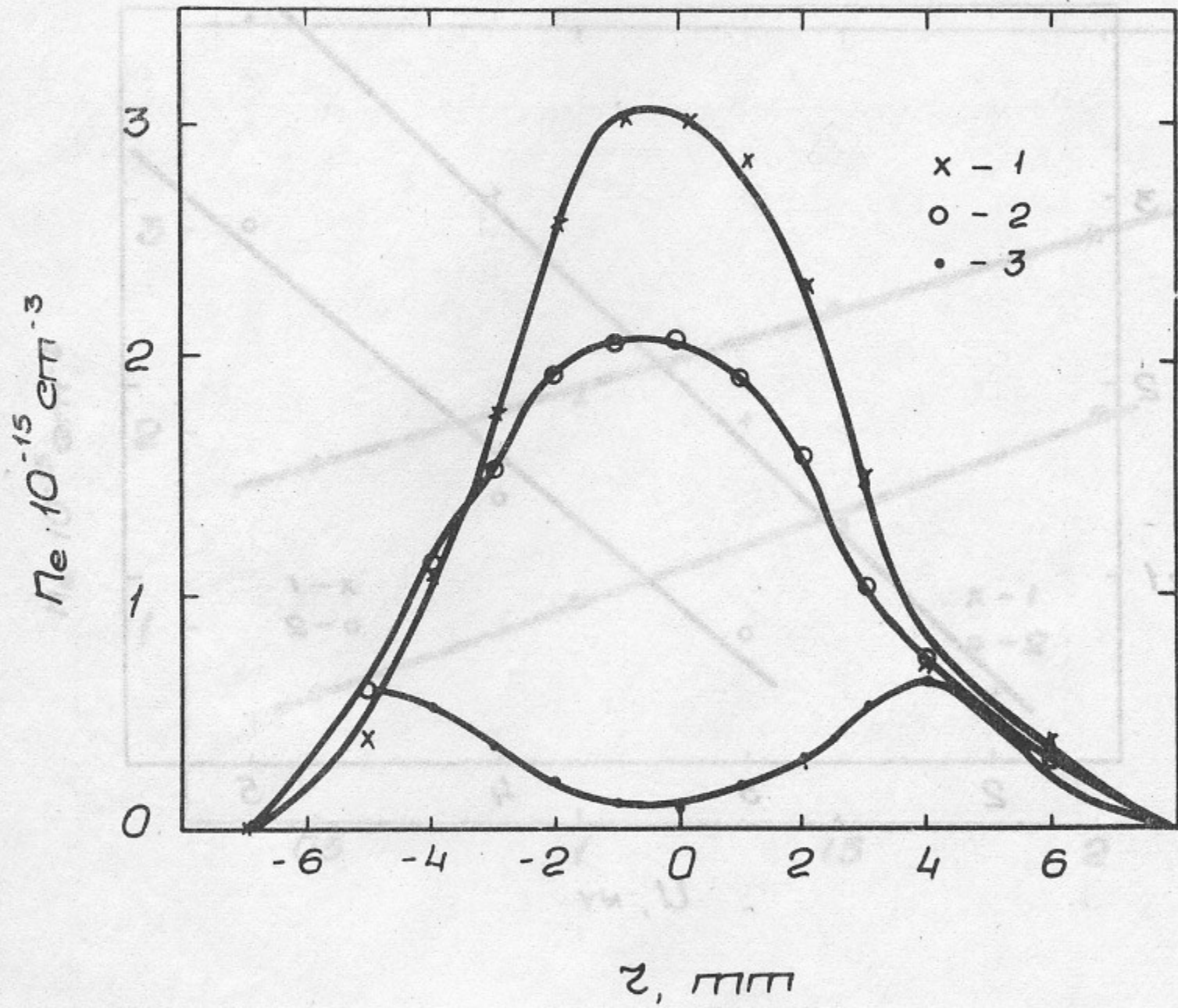
Фиг.7.  $P = 0,5 \text{ Torr}$ ,  $U = 4 \text{ kV}$ .



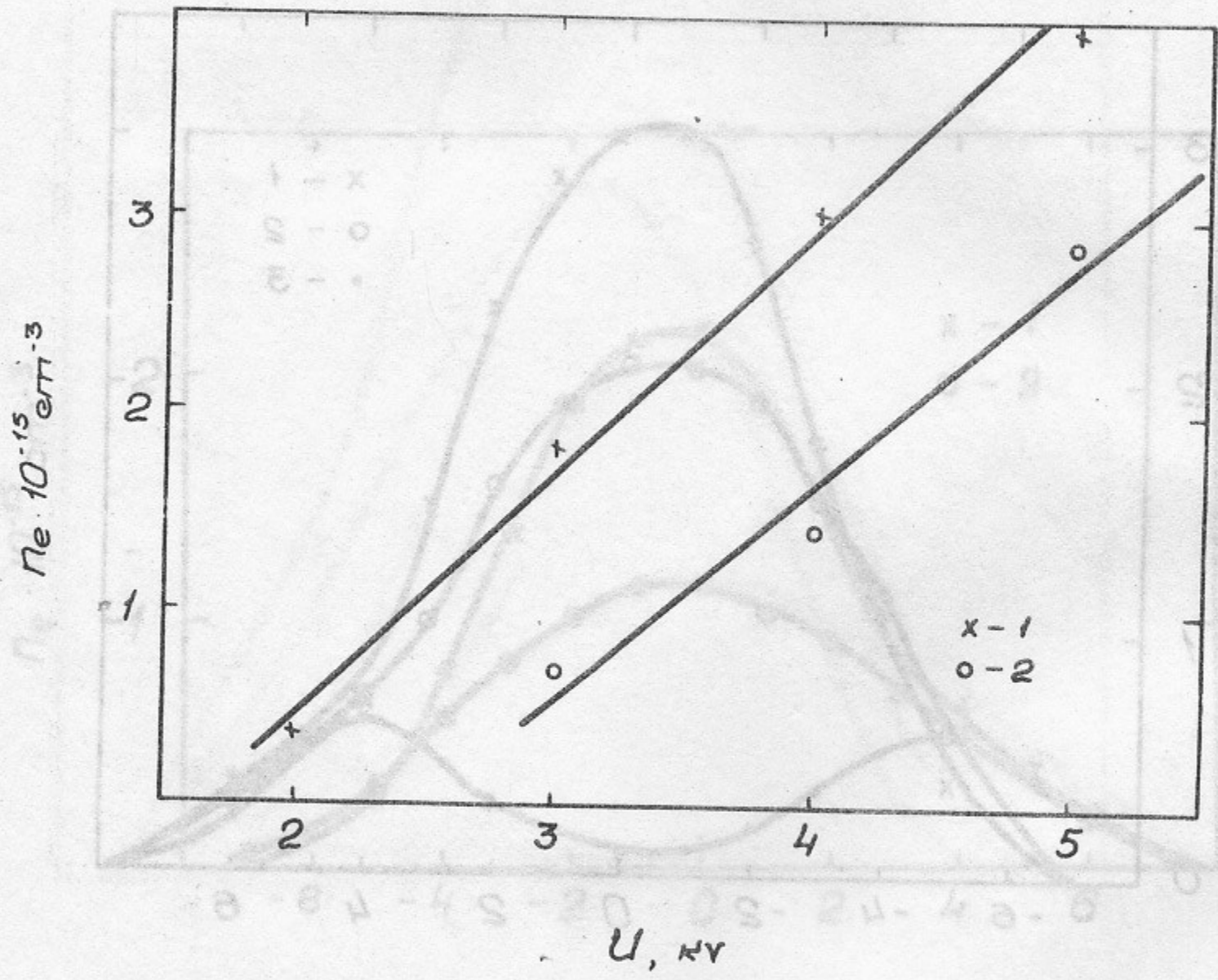
Фиг.8.  $P = 0.5 \text{ torr}$ ,  $U = 5 \text{ kV}$ .



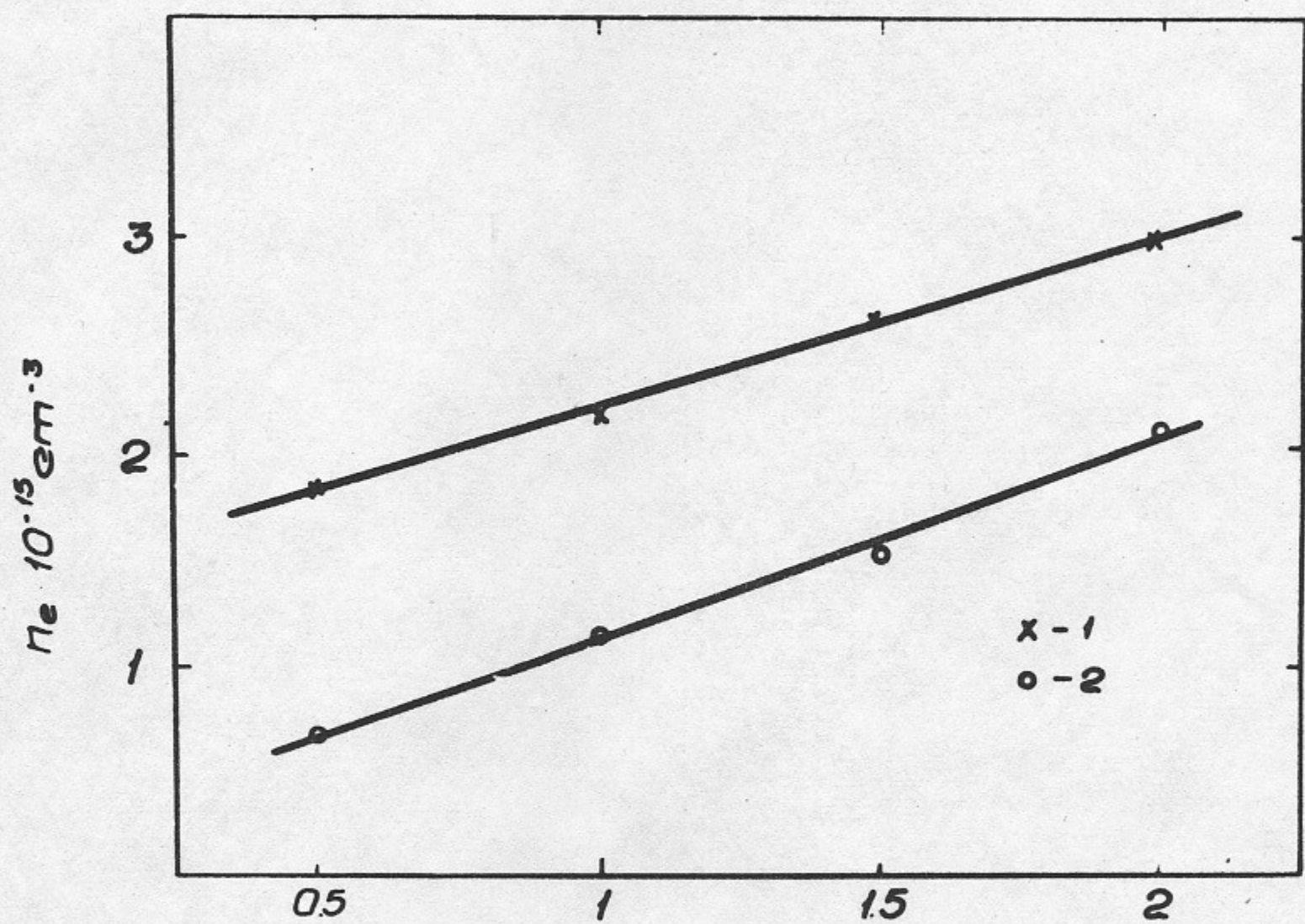
Фиг. 9.  $P = 1 \text{ torr}$ ,  $U = 3 \text{ kV}$ .



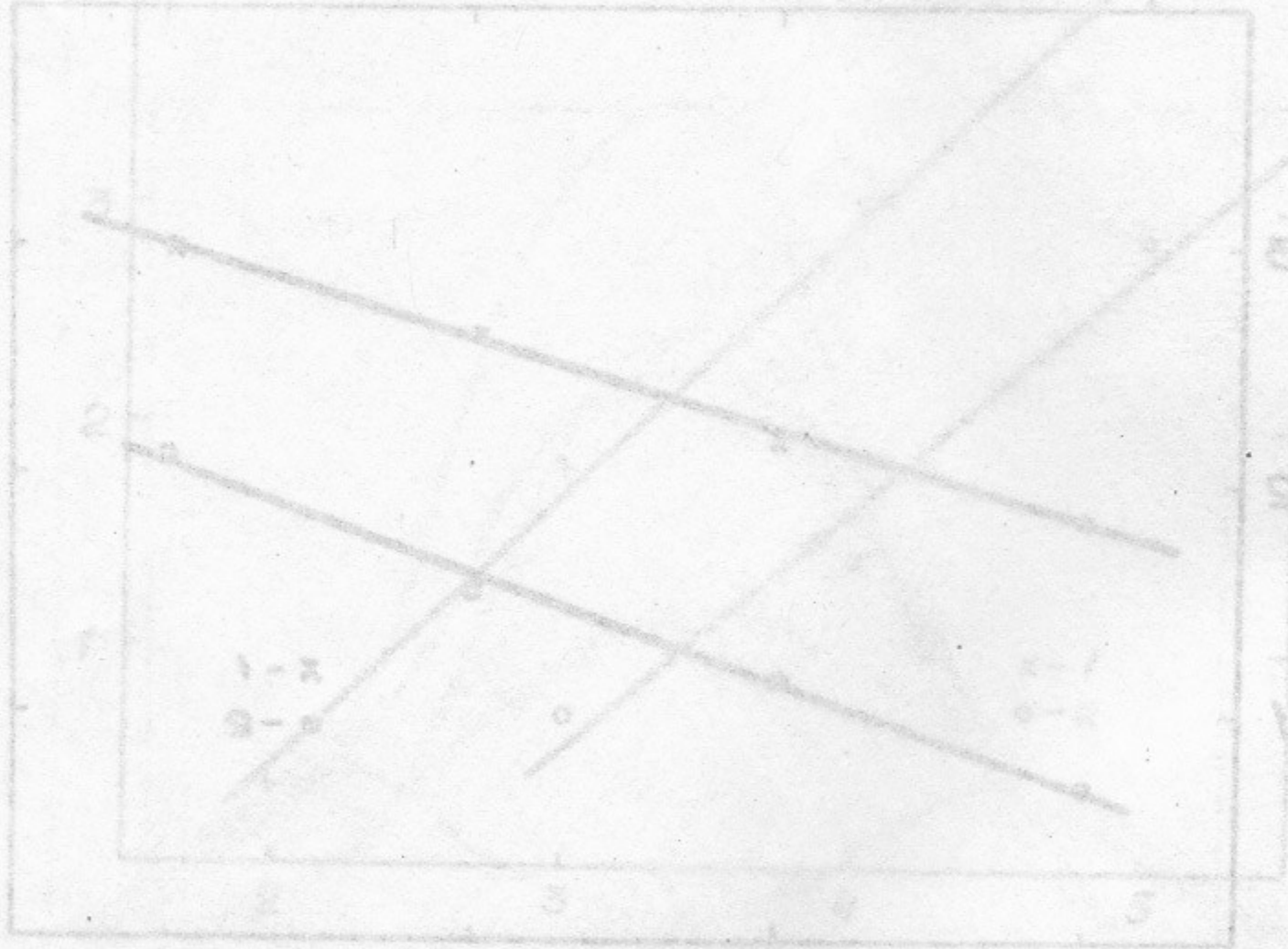
Фиг.10.  $P = 2 \text{ torr}$ ,  $U = 3 \text{ kV}$ .



Фиг.11. Зависимость максимальной ионизации от напряжения на трубке,  $P = 0,5 \text{ torr}$ .



Фиг.12. Зависимость максимальной ионизации от давления  
в трубке  $U = 3 \text{ kV}$ .



Ответственный за выпуск Ю.А.Якоби

Подписано к печати 13.07.70.

Усл. 0,5 печ.л., тираж 200 экз. Бесплатно.

Заказ № **57** ПРЕПРИНТ

Отпечатано на ротапринте в ИЯФ СО АН СССР, нв.